

## حل تطبیقی در تحلیل ایزوژئومتریک سازه‌ها با استفاده از روش‌های تخمین خطای مبتنی بر بازیافت تنش

ابوذر میرزاخانی<sup>۱\*</sup>, بهروز حسنی<sup>۲</sup> و احمد گنجعلی<sup>۳</sup><sup>۱</sup> استادیار، دانشکده فنی و مهندسی واحد شهرورد، دانشگاه آزاد اسلامی، شهرورد، ایران<sup>۲</sup> استاد، دانشکده فنی و مهندسی دانشگاه فردوسی، مشهد، ایران<sup>۳</sup> استادیار، دانشکده فنی و مهندسی واحد شهرورد، دانشگاه آزاد اسلامی، شهرورد، ایران

تاریخ دریافت: ۱۳۹۲/۱۲/۲۶؛ تاریخ بازنگری: ۱۳۹۴/۰۱/۱۷؛ تاریخ پذیرش: ۱۳۹۴/۰۸/۲۵

### چکیده

در این پژوهش برای اولین بار در تحلیل ایزوژئومتریک به بهبود شبکه نقاط کنترلی بر مبنای خطای برآورده شده از روشی مبتنی بر بازیافت تنش پرداخته شده است. در ابتدا از الگوریتم برآورده خطای مبتنی بر بازیافت تنش، برای یافتن نرم خطای انرژی هر المان استفاده شده است. سپس با تعریف میله‌هایی بین نقاط کنترلی، مقادیر تخمینی خطای در مجاورت نقاط کنترلی، به عنوان گرادیان حرارتی به هر میله تخصیص داده شده است. به این ترتیب، پس از تحلیل شبکه میله‌های فرضی که دچار تغییر دما شده‌اند، آرایش جدیدی از نقاط کنترلی و بردارهای گرهی حاصل می‌شود که بکارگیری این روند در چند سیکل در تحلیل ایزوژئومتریک، منجر به توزیع بهتر خطای در دامنه و در نتیجه حصول شبکه‌ای بهینه برای محاسبه انتگرال‌ها خواهد شد. به منظور سنجش کارایی این روش، نتایج حاصل از مدل‌سازی و تحلیل دو مسئله الاستیسیته، مورد ارزیابی قرار گرفته است. نتایج بدست آمده نشان می‌دهد که روش بهبود شبکه ابداعی در کاهش میزان خطای موقر بوده، می‌تواند جهت افزایش دقت نتایج تحلیل ایزوژئومتریک، مورد استفاده قرار گیرد.

**کلمات کلیدی:** تحلیل ایزوژئومتریک؛ نقاط کنترلی؛ حل تطبیقی؛ نرم خطای.

## Adaptivity in isogeometric analysis of structures using error estimation methods based on stress recovery

A. Mirzakhani<sup>1\*</sup>, B. Hassani<sup>2</sup> and A. Ganjali<sup>3</sup><sup>1</sup> Assistant Professor, Department of Civil Engineering, Shahrood Branch, Islamic Azad University, Shahrood, Iran<sup>2</sup> Professor, Department of Mechanical Engineering, Ferdowsi University, Mashhad, Iran<sup>3</sup> Assistant Professor, Department of Civil Engineering, Shahrood Branch, Islamic Azad University, Shahrood, Iran

### Abstract

In this research, for the first time, the net of control points in the isogeometric analysis has been improved by employing an error estimator based on a stress recovery method. First, an error estimation algorithm based on stress recovery is used to obtain the energy norm for each element. Then, artificial rods are defined between control points and the estimated values of errors in the control points located at the vicinity of a typical point is assigned to each rod as a thermal gradient. Now, by analyzing this hypothetical truss problem under temperature changes a new arrangement of control points and consequently the knot vectors can be obtained. Repeating this process in isogeometric analysis will lead to a better distribution of errors in the domain of the problem and results in an optimal net of control points to calculate the integrals. To evaluate the efficiency of this method, the results of modeling and analysis of two elasticity problem is presented. The obtained results show that this innovative approach has a good performance and can be employed for reducing the analysis errors.

**Keywords:** Isogeometric Analysis; Control Points; Adaptive Analysis; Error Norm.

\* نویسنده مسئول؛ تلفن: ۰۹۱۲۸۱۲۷۳۴۸

آدرس پست الکترونیک: aboozar.mirzakhani@iau-shahrood.ac.ir

تاریخچه استفاده از این توابع نشان می‌دهد که مدت‌ها بود قبل B-Spline ها توسط ریزنفیلد در ۱۹۷۲ معرفی شده بود و NURBS ها هم قبل از ۱۹۷۵ توسط ورسپریل بکار رفت که بعدها مبنای اساسی صنایع CAD قرار گرفت؛ اما به خاطر اینکه سالها پیش (۱۹۵۶) روش‌های المان محدود جهت تحلیل گسترش یافته بود، بین گرافیست‌ها و تحلیلگران مسائل مهندسی جدایی وجود داشت و این دو، از توابع مبنای مشترک استفاده نکردند [۱] تا اینکه روش ایزوژئومتریک توانست حلقه وصل بین طراحی گرافیکی و تحلیل عددی باشد.

استفاده از فناوری طراحی به کمک رایانه در تحلیل مسائل با استفاده از روش نوبین ایزوژئومتریک، دارای مزیت‌های فراوانی است که از جمله آنها حذف خطای مدل‌سازی هندسه است؛ اما در روش‌های عددی، وجود خطای در تقریب تابع مجھول امری اجتناب ناپذیر است و همواره باعث نگرانی بوده است. روش برآورد خطای مبتنی بر بازیافت تنش در روش ایزوژئومتریک مسائل تنش مسطح، بر پایه استفاده از خاصیت فوق همگرایی نقاط انتگرال گیری گوسی، اولین بار توسط حسنی و همکاران معرفی شد [۲] که در این پژوهش، از آن جهت برآورد توزیع خطای بر روی دامنه حل مسئله استفاده شده است.

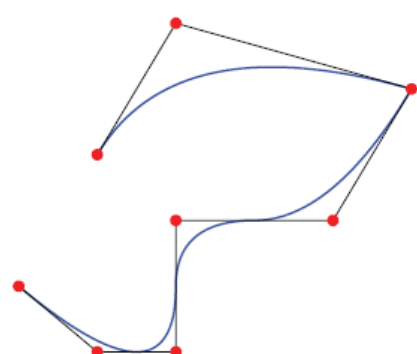
استفاده از روش‌های عددی برای حل مسائل مختلف همواره با خطای همراه است. برای کاهش خطای جواب‌ها و افزایش سرعت و دقت محاسبات در روش‌های عددی، از فرآیند تظریف استفاده می‌کنیم. تلاش برای بدست آوردن کارانترین، سریعترین و بهینه ترین روش برای تظریف، براساس خطای برآورد شده، تظریف تطبیقی<sup>۳</sup> نامیده می‌شود. تظریف تطبیقی شبکه، برای بدست آوردن جواب‌هایی با دقت بالاتر از جمله مسائلی بوده که همواره در روش‌های عددی، مورد توجه بوده است، به گونه‌ای که فرآیندهای تظریف همزمان با روش‌های عددی پیش‌رفت کرده‌اند.

اولین تلاش برای رسیدن به شبکه المان بهینه، توسط نایس و مارکال در سال ۱۹۷۴ صورت گرفت [۳]. در این روش، موقعیت گره‌ها به صورت نامعلوم در نظر گرفته می‌شود و سپس با استفاده از حداقل نمودن انرژی پتانسیل،

## ۱- مقدمه

از آنجایی که واکاوی بسیاری از پدیده‌های طبیعی به معادلاتی از جنس معادلات با مشتق‌های جزئی منجر می‌شوند، حل این نوع از معادلات همواره مورد توجه بوده است. از طرفی تاکنون برای گروه عمده‌ای از این نوع معادلات، روش تحلیلی ارائه نشده است؛ بنابراین برای حل آنها از روش‌های عددی استفاده می‌شود. تحلیل ایزوژئومتریک نیز روش عددی جدیدی برای تحلیل مسائل مهندسی است که معادلات حاکم بر آن‌ها، معادلات دیفرانسیلی با مشتق‌های جزئی است، این روش دارای شباهت‌هایی با روش اجزای محدود بوده، بر مبنای هندسه تحلیلی ارائه شده است. در واقع در ابداع تحلیل ایزوژئومتریک، از روش‌های طراحی به کمک کامپیوتر (CAD)<sup>۱</sup> الهام گرفته شده است [۱].

توابع پایه ای B-Spline و به طور مشخص نوع خاصی از آن که NURBS<sup>۲</sup> نام دارد، در این روش مبنای مدل‌سازی قرار گرفته است. این توابع که چند جمله‌ای‌های درونیاب بوده و وابسته به یک سری نقاط کنترلی هستند، می‌توانند هندسه نسبتاً دقیقی را جهت ایجاد مدل و ترسیم فضای پارامتری تحلیل فراهم کنند، بدین ترتیب که با جابجایی نقاط کنترلی در این سیستم، انواعی از منحنی‌ها و سطوح لازم ترسیم می‌شود (شکل ۱)، در حالی که در روش‌های رایج المان محدود برای مدل کردن انواعی از احجام با اشکال مختلف، مرزها به قطعات متعدد تقسیم شده، نمی‌توان دامنه حل مسئله را با المان‌های مورد نظر به طور کامل پوشانید.



شکل ۱- نقاط کنترلی مربوط به یک منحنی

<sup>1</sup> Computer Aided Design

<sup>2</sup> NURBS (Non Uniform Rational B-Spline)

<sup>3</sup> Adaptive refinement

یک بعدی از یک سری مختصات به صورت رابطه (۱) تشکیل می‌شود [۹].

$$\Xi = \left\{ \xi_1, \xi_2, \dots, \xi_{n+p+1} \right\}, \quad \xi_i + 1 \geq \xi_i \quad i = 1, 2, \dots, n+p+1 \quad (1)$$

که در آن  $\xi$  نامین گره،  $p$  مرتبه چند جمله‌ای و  $n$  تعداد توابع شکل تشکیل دهنده بی-اسپلاین به شمار می‌رود. انواع مختلفی از بردارهای گره ای وجود دارد؛ ولی در این بحث فقط از نوع خاصی از بردارهای گره ای بنام بردارهای گره ای نامتناوب<sup>۱</sup> یا باز<sup>۲</sup> استفاده می‌کنیم. این نوع بردارها به صورت رابطه (۲) نشان داده می‌شوند:

$$\Xi = \left\{ a, \dots, a, \xi_{p+1}, \dots, \xi_{m-p-1}, b, \dots, b \right\} \quad (2)$$

در این صورت،  $a$  امین تابع پایه ای بی-اسپلاین از درجه  $p$  که با  $(\xi) N_{i,p}$  نشان داده می‌شود، به صورت رابطه (۳) تعریف می‌شود [۹]:

$$N_{i,0}(\xi) = \begin{cases} 1 & \text{if } \xi_i \leq \xi < \xi_{i+1} \\ 0 & \text{otherwise} \end{cases} \quad (3)$$

$$N_{i,p}(\xi) = \frac{\xi - \xi_i}{\xi_{i+1} - \xi_i} N_{i,p-1}(\xi) + \frac{\xi_{i+p+1} - \xi}{\xi_{i+p+1} - \xi_{i+1}} N_{i+1,p-1}(\xi)$$

با استفاده از تعاریف بالا، منحنی بی-اسپلاین از درجه  $p$  بصورت رابطه (۴) تعریف می‌شود [۹]:

$$C(\xi) = \sum_{i=0}^n N_{i,p}(\xi) P_i \quad a \leq \xi \leq b \quad (4)$$

$C(\xi)$  یک منحنی چند جمله‌ای قطعه‌ای (Piecewise polynomial curve) است که در آن  $\{P_i\}$ ، نقاط کنترلی و  $\{N_{i,p}\}$  توابع پایه‌ای بی-اسپلاین هستند که روی بردار گره‌ای نامتناوبی به صورت رابطه (۲) با فرض  $a=0$  و  $b=1$  تعریف می‌شوند. اگر  $p$  درجه توابع پایه،  $n+1$  تعداد نقاط کنترلی و  $m+1$  تعداد گره‌ها باشند، آنگاه می‌توان رابطه  $m=n+p+1$  را برای آنها نوشت.

به طرز مشابهی سطوح بی-اسپلاین به صورت رابطه (۵) تعریف می‌شود [۹]:

<sup>۱</sup> Nonperiodic knot vectors

<sup>۲</sup> Open

می‌توان موقعیت گره‌ها را تعیین کرد. بایوشکا و همکارانش، در سال ۱۹۸۶ برای اولین بار شبکه المان بهینه را شبکه‌ای با توزیع یکنواخت معیار خطای انرژی روی کل دامنه، برای مسائل یک بعدی تعریف کردند [۴]. در سال ۱۹۸۹ زینکویچ و زو طی مقاله‌ای با تخمین خطای در مسائل خمش صفحه، روشهای را برای اصلاح المان بندی مثلثی ارائه کردند که طی آن المان‌ها ریزتر می‌شد [۵]. در زمینه بهبود شبکه در روش ایزوژئومتریک نیز تاکنون تلاش‌هایی انجام شده که عمداً تکیه آنها بر استفاده از توابع پایه T-Spline جهت افزایش نقاط کنترلی در نواحی با خطای بالاتر بوده، Johannessen برای اولین بار تحلیل تطبیقی به این سبک را ارائه کرد [۶]. Michael R. Dörfel و همکاران در ۲۰۱۰، بهبود محلی شبکه با افزایش نقاط کنترلی و با استفاده از تی-اسپلاینها را پیشنهاد کردند [۷] و Denga Jiansong و همکاران در ۲۰۱۱ با استفاده از Rational PHT-Splines یا تی-اسپلاین‌های مرتبه‌ای نوعی بهبود محلی را ارائه دادند [۸] که در مجموع همه روش‌های ذکر شده با افزایش تعداد نقاط و حجم محاسبات همراه بوده است.

در این پژوهش برای اولین بار روشهای بر پایه استفاده از گرادیان حرارتی جهت بهبود شبکه نقاط کنترلی تحلیل ایزوژئومتریک مبتنی بر جابجایی نقاط، ارائه شده است. ویژگی بارز این روش، عدم افزایش حجم محاسبات به دلیل اضافه نشدن نقاط کنترلی جدید و همچنین امکان بهبود شبکه در چندین چرخه مختلف است.

در ادامه جهت آشنایی بیشتر با مفاهیم اولیه تحلیل ایزوژئومتریک، به نحوه مدل‌سازی در این روش پرداخته شده است. بخش سوم مربوط به معرفی روش برآورد خطای مبتنی بر بازیافت تنش در روش ایزوژئومتریک است. تشریح روش بهبود شبکه با استفاده تولید گرادیان حرارتی در بخش چهارم و صحبت سنجی این روش با حل دو مثال نمونه در بخش پنجم از این پژوهش ارائه شده است.

## ۲ - مدل‌سازی

نربرها از بی-اسپلاین‌ها ساخته می‌شوند. بی-اسپلاین‌ها در فضای پارامتری (ناحیه) (Patch) تعریف می‌شوند. نواحی مذکور دامنه مدل‌سازی شده را به چندین زیر دامنه تقسیم می‌کنند. یک بردار گرهی (Knot Vector) در فضای پارامتری

$$R_{i,j}(\xi, \eta) = \frac{N_{i,p}(\xi)N_{j,q}(\eta)w_{i,j}}{\sum_{k=0}^n \sum_{l=0}^m N_{k,p}(\xi)N_{l,q}(\eta)w_{k,l}} \quad (9)$$

$$S(\xi, \eta) = \sum_{i=0}^n \sum_{j=0}^m R_{i,j}(\xi, \eta)P_{i,j} \quad (10)$$

در شکل ۲ شبکه نقاط کنترلی و سطح نریز بدست آمده از آن با توابع پایه درجه دو مشاهده می‌شود.



شکل ۲ - شبکه نقاط کنترلی و سطح نریز مربوط به آن با توابع پایه درجه دو

**۳- سطح تنش بهبود یافته و برآورده خطا**  
در فرآیندهای معمول تخمین خطای دو مقدار از یک کمیت (مقدار محاسبه شده و مقدار مرجع)، مورد نیاز است. مقدار محاسبه شده، کمیت خامی است که از محاسبه مستقیم بدست می‌آید؛ در حالی که مقدار مرجع از مقدار اول بعد از یک فرآیند پس پردازشی مانند هموارسازی به دست می‌آید. به عنوان مثال در اجزای محدود، عوامل تنش‌ها در مرز المان‌ها یا ناپیوسته هستند یا از دقت کمتری برخوردارند. مقادیر تصحیح شده آن‌ها از طریق فرآیند هموارسازی به دست می‌آید. اختلاف بین مقادیر خام و مقادیری که از طریق فرآیند فوق به دست آمده‌اند، تشکیل‌دهنده مقدار اولیه برای برآورده خطا است.  
در روش ایزوژئومتریک، میدان تنش بهبود یافته برای هر مولفه تنش در هر ناحیه، به صورت یک سطح فرضی در نظر گرفته می‌شود. این سطح فرضی با استفاده از توابع شکل نریزی به دست می‌آید که برای تخمینتابع مجھول (جایگایی) استفاده شده‌اند [۱].

$$S(\xi, \eta) = \sum_{i=0}^n \sum_{j=0}^m N_{i,p}(\xi)N_{j,q}(\eta)P_{i,j} \quad (5)$$

که در آن:

$$\Xi = \left\{ 0, \dots, 0, \underset{p+1}{\xi_{p+1}}, \dots, \underset{p+1}{\xi_{r-p-1}}, 1, \dots, 1 \right\}; \quad (6)$$

$$\mathcal{H} = \left\{ 0, \dots, 0, \underset{q+1}{\eta_{q+1}}, \dots, \underset{q+1}{\eta_{s-q-1}}, 1, \dots, 1 \right\}$$

بطوری که بردار گرهای  $\Xi$  دارای  $r+1$  گره و دارای  $s+1$  گره است.

منحنی نریز از درجه  $p$  به صورت رابطه (7) تعریف می‌شود [۹]:

$$C(\xi) = \frac{\sum_{i=0}^n N_{i,p}(\xi)w_i P_i}{\sum_{i=0}^n N_{i,p}(\xi)w_i} \quad a \leq \xi \leq b \quad (7)$$

که در آن  $\{P_i\}$  نقاط کنترلی،  $\{w_i\}$  وزن‌ها و  $\{N_{i,p}(\xi)\}$  توابع پایه‌ای بی-اسپیلاین از درجه  $p$  هستند که روی بردار گرهای به صورت رابطه (2) تعریف شده اند. در نهایت، یک سطح نریز که در جهت  $\zeta$  از درجه  $p$  و در جهت  $\eta$  از درجه  $q$  باشد، بصورت رابطه (8) تعریف می‌شود [۹]:

$$S(\xi, \eta) = \frac{\sum_{i=0}^n \sum_{j=0}^m N_{i,p}(\xi)N_{j,q}(\eta)w_{i,j}P_{i,j}}{\sum_{i=0}^n \sum_{j=0}^m N_{i,p}(\xi)N_{j,q}(\eta)w_{i,j}}, \quad 0 \leq \xi, \eta \leq 1 \quad (8)$$

در عبارت فوق  $\{P_{i,j}\}$ ، شبکه نقاط کنترلی است که در دو جهت تعریف شده است؛ همچنین  $\{w_{i,j}\}$  وزن‌ها،  $\{N_{i,p}(\xi)\}$  و  $\{N_{j,q}(\eta)\}$  توابع پایه‌ای بی-اسپیلاین هستند که روی بردارهای گره ای به صورت رابطه (6) تعریف شده اند. در رابطه (8) اگر توابع پایه‌ای نسبی قطعه‌ای را بصورت رابطه (9) تعریف کنیم:

از حل ایزوژئومتریک در نقاط گوس المان‌های هر ناحیه با استفاده از روش حداقل مجموع مربعات محاسبه می‌شود. در این بخش، به طور مختصر به چگونگی استفاده از خاصیت نقاط فوق همگرا در تشکیل سطح تنش بهبود یافته پرداخته می‌شود و جهت آشنایی بیشتر با جزئیات این روش، مراجعه به مرجع [۲] پیشنهاد می‌شود.

در صورتی که سطح بازیافتی (بهینه) هریک از مؤلفه‌های بردار تنش را با<sup>۵</sup> نشان دهیم، با توجه به توابع شکل نزدیکی توان این سطح را داخل هر ناحیه به صورت رابطه (۱۱) بیان کرد:

$$\sigma^* = \sum_{i=1}^m \sum_{j=1}^n R_{i,j}(u,v) P_{i,j} \quad (11)$$

که در آن n تعداد نقاط کنترلی در جهت y و m تعداد نقاط کنترلی در جهت x هر ناحیه، R توابع شکل نزدیک و P مختصات نقاط کنترلی مربوط به صفحه تنش است. در صورتی که R و P را به ترتیب بردار توابع شکل نزدیک و بردار مختصات نقاط کنترلی، به صورت روابط (۱۲) و (۱۳) تعریف کنیم، رابطه (۱۳) را می‌توان به صورت (۱۴) بیان کرد.

$$\mathbf{R} = [R_{1,1}, R_{1,2}, \dots, R_{1,n}, R_{2,1}, R_{2,2}, \dots, R_{2,n}, \dots, R_{m,n}]^T \quad (12)$$

$$\mathbf{P} = [P_{1,1}, P_{1,2}, \dots, P_{1,n}, P_{2,1}, P_{2,2}, \dots, P_{2,n}, \dots, P_{m,n}]^T \quad (13)$$

$$\sigma^* = \mathbf{R}^T \mathbf{P} \quad (14)$$

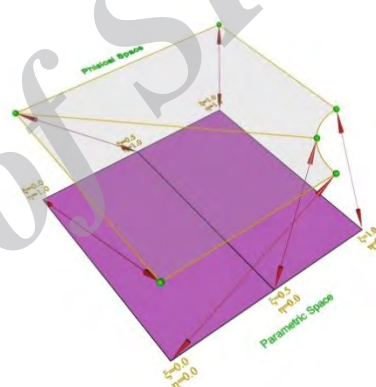
تنها پارامتر مجھول جهت تعیین این سطح، مختصات z نقاط کنترلی (بردار P) است. برای تعیین این مقادیر، مجموع مربعات اختلاف تنش بین مقدار بدست آمده از تحلیل ایزوژئومتریک و تنش بهبود یافته را در نقاط گوس مینیمم می‌کنیم. برای این منظور، تابع F(P) را به صورت رابطه (۱۵) تعریف می‌کنیم:

$$F(\mathbf{P}) = \sum_{j=1}^{k_y} \sum_{i=1}^{k_x} (\sigma_{i,j}^* - \bar{\sigma}_{i,j})^2 \quad (15)$$

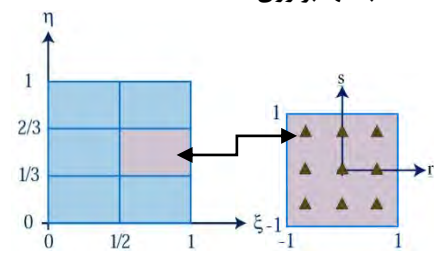
که در آن  $\bar{\sigma}_{i,j}$  تنش بدست آمده از تحلیل ایزوژئومتریک و  $k_y$  و  $k_x$  به ترتیب، تعداد نقاط گوس در جهت‌های x و y موجود در هر ناحیه است. با جایگذاری رابطه (۱۴) در (۱۵) در (۱۶) داشت:

$$F(\mathbf{P}) = \sum_{l=1}^K (\mathbf{R}_l^T \mathbf{P}_l - \bar{\sigma}_l)^2 \quad (16)$$

یک سطح نزدیک زمانی بدست خواهد آمد که مختصات نقاط کنترلی آن مشخص شده باشد. با تعریف مختصات x و y هر نقطه کنترلی توسط کاربر، تنها مؤلفه مجھول جهت تعیین سطح بهبود یافته تنش، مؤلفه سوم نقطه کنترلی است. محاسبه مختصات سوم نقاط کنترلی، به نحوی است که سطح تنش جدید بدست آمده نسبت به سطح تنش قبلی که از تحلیل ایزوژئومتریک بدست آمده است، به یک سطح تنش بهبود یافته تبدیل می‌شود. برای محاسبه مختصات نقاط کنترلی و در نتیجه بدست آوردن سطح تنش بهبود یافته از خاصیت نقاط فوق همگرا استفاده می‌شود [۲]. در تحلیل ایزوژئومتریک، این نقاط فوق همگرا بر حداقل تعداد نقاط گوسی مورد نیاز المان چهار ضلعی منطبق هستند (شکل های ۳ و ۴).



شکل ۳- نقاط موجود در فضای پارامتری و نقاط متناظر با آنها بر روی هندسه مسئله



الف) فضای انتگرال گیری گوس

شکل ۴- نقاط انتگرال گیری گوس در روش ایزوژئومتریک

مختصات نقاط کنترلی سطح بهینه تنش با مینیمم کردن فاصله بین این سطح فرضی و سطح تنش بدست آمده

انرژی المان‌ها، نرم خطای انرژی کل دامنه را تشکیل می‌دهد.

برای سنجش دقت تخمین‌کننده خطا نیز یک شاخص تأثیر که از نسبت خطای برآورد شده به خطای دقیق بدست می‌آید، به صورت رابطه زیر به کار گرفته می‌شود:

$$\theta = \frac{\|e^*\|}{\|e\|} \quad (20)$$

در این رابطه  $e^*$  نرم خطای انرژی تقریبی و  $e$  نرم خطای انرژی دقیق است.

#### ۴- اصلاح و فقی<sup>۱</sup>

در فرآیند حرکت‌دهی شبکه که یکی از روش‌های اصلاح و فقی است، تعداد کل نقاط ثابت باقی می‌ماند؛ ولی محل نقاط طبق خطاهای به دست آمده تغییر می‌کند. این روش در مقابل سایر روش‌ها همچون اصلاح شبکه P<sup>۲</sup> و یا غنی سازی<sup>۳</sup>، مزایای متعددی دارد؛ اما در اجزای محدود با محدودیت‌های همراه است؛ زیرا در زمان جابجایی نقاط ممکن است اتصال<sup>۴</sup> اجزا به هم بخورد و بعضی از المان‌ها همپوشانی پیدا کرده و یا مساحت بعضی از المان‌ها صفر شود [۱۱]؛ بنابراین استفاده از این روش با مشکلات زیادی همراه است. به همین دلیل در اجزای محدود محبوب‌ترین روش برای تظریف تطبیقی استفاده از همان روش غنی کردن شبکه است که از لحاظ محاسباتی پر هزینه است؛ ولی از آنجایی که به‌طور کلی در روش‌های بدون شبکه و همچنین روش تحلیل ایزوژئومتریک در فضای پارامتری آن، المان بندی وجود ندارد، استفاده از روش جابجایی نقاط به راحتی امکان پذیر است؛ بنابراین در فرآیند تظریف ارائه شده برای روش تحلیل ایزوژئومتریک، ایده جابجایی نقاط به کار گرفته شده است.

در این مقاله با معرفی یک فرآیند جدید تظریف تطبیقی در تحلیل ایزوژئومتریک که از جمله روش‌های حرکت‌دهی شبکه محاسبه می‌شود، حل تطبیقی برای مسائل حوزه مکانیک جامدات نشان داده شده است.

که در آن K تعداد نقاط گوس موجود در هر ناحیه است. در نهایت با مشتق‌گیری ازتابع F(P) نسبت به مؤلفه‌های z نقاط کنترلی و مساوی صفر قرار دادن آن مختصات، نقاط کنترلی صفحه تنش بهبود یافته بدست می‌آید.

$$\frac{\partial F(\mathbf{P})}{\partial P_{i,j}} = 0 \Rightarrow \mathbf{AP} = \mathbf{B} \Rightarrow \mathbf{P} = \mathbf{A}^{-1}\mathbf{B} \quad (17)$$

$$\mathbf{A} = \sum_{i=1}^K \mathbf{R}_i \mathbf{R}_i^T \quad ; \quad \mathbf{B} = \sum_{i=1}^K \mathbf{R}_i \cdot \bar{\sigma}_i$$

با داشتن مختصات نقاط کنترلی، سطح تنش مربوط به آن نیز بدست می‌آید. این میدان مؤلفه تنش نسبت به سطح تنش به‌دست آمده از روش ایزوژئومتریک دقیق‌تر است و از این‌رو می‌تواند به عنوان یک تخمین‌کننده بالقوه خطای برای تحلیل ایزوژئومتریک به کار رود. روش کار این تخمین‌کننده خطای بین‌دین صورت است که با در نظر گرفتن اختلاف بین سطح تنش بازیافتی و سطح تنش بدست آمده از تحلیل ایزوژئومتریک برای هر المان، به صورت تقریبی می‌توان به معیاری جهت تعیین میزان خطای موجود در آن المان دست پیدا کرد.

استفاده از معیارهای مختلفی برای تعیین میزان خطای متداول است. یکی از معروف‌ترین معیارهای بیان خطای انرژی است. طبق تعریف، نرم خطای انرژی دقیق تنش برای المان به صورت رابطه (۱۸) بیان می‌شود [۱۰]:

$$\|e\| = \left[ \int_{\Omega} (\boldsymbol{\sigma} - \bar{\boldsymbol{\sigma}})^T \mathbf{D}^{-1} (\boldsymbol{\sigma} - \bar{\boldsymbol{\sigma}}) d\Omega \right]^{\frac{1}{2}} \quad (18)$$

در این رابطه  $\boldsymbol{\sigma}$  مقدار دقیق بردار تنش،  $\bar{\boldsymbol{\sigma}}$  تنش بدست آمده از حل تقریبی،  $\mathbf{D}$  ماتریس الاستیسیته و  $\Omega$  دامنه المان است. با توجه به اینکه در حالت کلی جز در مواردی خاص که حل تئوری بعضی از مسائل الاستیسیته موجود است، حل دقیق مسئله در دسترس نیست، لذا به‌جای استفاده از میزان دقیق تنش از میزان بهبود یافته آن جهت محاسبه نرم خطای انرژی استفاده می‌شود. در این صورت، نرم خطای انرژی تقریبی به صورت زیر تعریف می‌شود:

$$\|e\| = \|\bar{e}\| = \left[ \int_{\Omega} (\boldsymbol{\sigma}^* - \bar{\boldsymbol{\sigma}})^T \mathbf{D}^{-1} (\boldsymbol{\sigma}^* - \bar{\boldsymbol{\sigma}}) d\Omega \right]^{\frac{1}{2}} \quad (19)$$

که در اینجا  $\boldsymbol{\sigma}^*$  تنش بازیافتی و  $\bar{\boldsymbol{\sigma}}$  تنش بدست آمده از تحلیل ایزوژئومتریک است. در نهایت مجموع نرم خطای

<sup>1</sup> Refinement

<sup>2</sup> p-refinement

<sup>3</sup> element subdivision (enrichment)

<sup>4</sup> Connectivity

که در آن  $(x_i, x_i)$  فاصله (اقلیدسی) بین  $x_i$  و  $X$  است؛ معنی رابطه‌ی بالا این است که نقاط متعلق به سلول Voronoi گره  $i$  نقاطی هستند که به این گره نزدیک‌ترند تا سایر گره‌ها.

در این مرحله گره‌ها را بوسیله اعضای سازه‌ای متصل کرده و خطاهایی را که به روش بازیافت تیش تخمین زده‌ایم به عنوان درجه حرارت منفی (برودت) به اعضاء اختصاص می‌دهیم؛ در واقع چون میانگین خطای سطوح مجاور هر عضو و در مسائل سه بعدی احجام مجاور هر عضو را به عنوان خطایا به تعبیر این روش، اختلاف درجه حرارت در نظر می‌گیریم، اعضاًی که در نواحی با خطای بیشتر قرار دارند، اختلاف حرارت بیشتری را متحمل می‌شوند؛ بنابراین برای هر عضو مطابق رابطه زیر:

$$\delta = L * \alpha * \Delta T \quad (22)$$

که در آن:

$\delta$  : تغییر طول عضو

$L$  : طول اولیه عضو

$A$  : ضریب انتقال حرارت ماده

$\Delta T$  : اختلاف حرارت موجود

تغییر طول اعضای فرضی بدست آمده و به نیرو تبدیل می‌شود.

$$\delta = \frac{FL}{EA} \quad (23)$$

که در آن:

$\delta$  : تغییر طول عضو

$F$  : نیروی حاصل از اختلاف حرارت (خطا)

$L$  : طول اولیه عضو

$E$  : ضریب الاستیسیته

$A$  : سطح مقطع اعضا

از طرفی چون نیروی بوجود آمده در مختصات محلی است با نگاشت زیر در مختصات کلی تعریف می‌شود (شکل ۶):

$$\begin{bmatrix} F_{xA} \\ F_{yA} \\ F_{xB} \\ F_{yB} \end{bmatrix} = \begin{bmatrix} \cos\theta & -\sin\theta & 0 & 0 \\ \sin\theta & \cos\theta & 0 & 0 \\ 0 & 0 & \cos\theta & -\sin\theta \\ 0 & 0 & \sin\theta & \cos\theta \end{bmatrix} \begin{bmatrix} F'_{xA} \\ F'_{yA} \\ F'_{xB} \\ F'_{yB} \end{bmatrix} \quad (24)$$

روش‌های متعددی برای جابجایی نقاط شبکه در اجزای محدود پیشنهاد شده و برای مسائل مختلف به کار گرفته شده است از میان این روش‌ها چهار روش به نام‌های trans-isoparametric mapping [۱۷] finite interpolation(TFI) [۱۸] elastic analogy [۱۹] و سیستم فرها [۲۰]، بیشتر مورد توجه بوده است.

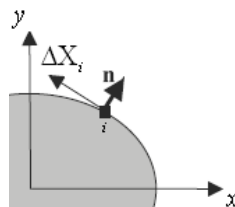
Isoparametric mapping TFI و الگوریتم‌های ریاضی هستند که برای مسائل شبکه‌های ساختار یافته و ساده مناسب می‌باشند. از طرف دیگر، elastic analogy و سیستم فرها برای هر دو حالت مسائل دارای شبکه ساختار یافته و ساختار نیافته کاربرد دارند؛ ولی این روش‌ها نیز در حل تطبیقی مسائل اجزاء محدود دارای محدودیت‌هایی بوده‌اند. در روش ارائه شده در این پژوهش، ابتدا حوزه همسایگی هر نقطه کنترلی شناسایی و سپس هر نقطه کنترلی بوسیله میله‌هایی فرضی به نقاطی متصل می‌شود که در همسایگی آن قرار دارد.



شکل ۵ - دیاگرام Voronoi جهت شناسایی حوزه همسایگی هر نقطه کنترلی

برای یافتن نقاط همسایه از دیاگرام Voronoi استفاده شده است. (شکل ۵) دیاگرام Voronoi، شکل محدبی است که از تقاطع عمود منصف‌های وارد بر پاره خط بین گره‌ها حاصل می‌شود. این حوزه همسایگی طبق رابطه (۲۱) تعریف می‌شود [۱۶]:

$$T_i = \{x \in \mathcal{R} : d(X, X_i) < d(X, X_j) \forall j \neq i\} \quad (21)$$



شکل ۸- حالت کلی برای شرایط مرزی

در زیر روابط مربوط به شرط مرزی آورده شده است.

$$\Delta X_i n_i = [\Delta x_i \Delta y_i] \begin{bmatrix} n_x^i \\ n_y^i \end{bmatrix} = \left[ (x_i - \bar{x}_i) (y_i - \bar{y}_i) \right] \begin{bmatrix} n_x^i \\ n_y^i \end{bmatrix} = 0 \quad (25)$$

که در آن  $\Delta X_i$  بردار تغییر مکان نقطه‌ی  $i$  ام و  $n_i$  بردار برونگرای عمود بر مرز در این نقطه است.  
با ضرب کردن دو بردار  $\Delta X_i$  و  $n_i$  در رابطه بالا داریم:

$$y_i = w + s x_i \quad (26)$$

که در آن  $w$  و  $s$  چنین اند:

$$w = \bar{x}_i \frac{n_x^i}{n_y^i} + \bar{y}_i \quad (27)$$

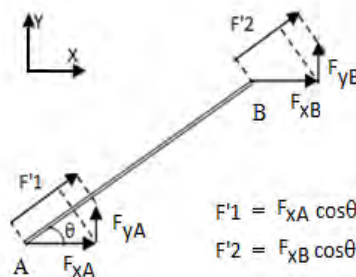
$$s = -\frac{n_x^i}{n_y^i} \quad (28)$$

روابط فوق برای حالتی که مرز عمود بر یکی از محورهای مختصات باشد، به صورت روابط (۲۹) و (۳۰) ساده می‌شود:

$$y_i = \bar{y}_i \quad \text{if} \quad n_x^i = 0 (n \perp x) \quad (29)$$

$$x_i = \bar{x}_i \quad \text{if} \quad n_y^i = 0 (n \perp y) \quad (30)$$

مفهوم این دو رابطه این است که اگر مرز موازی بر محور  $x$  باشد، نقطه واقع بر آن تنها می‌تواند درجهت  $x$  جایه‌جا شود و تغییر مکان آن در جهت  $y$  صفر است و همچنین اگر مرز موازی بر محور  $y$  باشد، نقطه واقع بر آن تنها می‌تواند در جهت  $y$  جایه‌جا شود و تغییر مکان آن در جهت  $x$  صفر است. این دو شرط مرزی همانند اعمال شرایط مرزی دریشه (تغییر مکانی) در روش اجزای محدود اعمال می‌شوند.



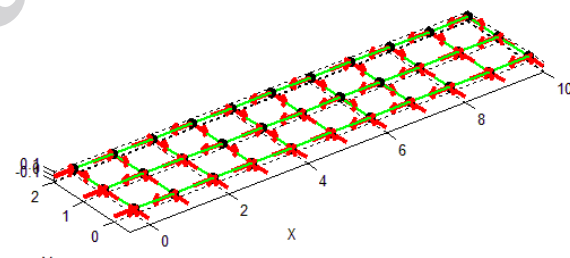
$$F'1 = F_{xA} \cos\theta + F_{yA} \sin\theta$$

$$F'2 = F_{xB} \cos\theta + F_{yB} \sin\theta$$

شکل ۶- تبدیل نیروها به مختصات کلی

نتیجه آنکه سازه متصل از نقاط کنترلی و اعضای متصل کننده فرضی را تحت نیروهای حاصل از گرادیان حرارتی تحلیل کرده (شکل ۷) و جابجایی‌ها را برای انجام مجدد تحلیل ایزوژئومتریک در نقاط کنترلی و با نسبتی معین در بردارهای گرهی اعمال می‌کنیم.

در الگوریتم ارائه شده برای رسیدن به دقت کافی، قابلیت انجام مراحل تحلیل، تخمین خطای جابجایی نقاط کنترلی، به عنوان حل تطبیقی، در سیکل‌های متعدد وجود دارد.



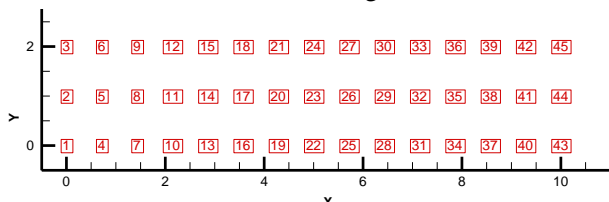
شکل ۷- تحلیل یک سازه دو بعدی نمونه تحت نیروهای حاصل از گرادیان حرارتی

شرایط مرزی مجموعه نقاط گرهی و المان‌ها چنین است که نقاط روی مرزهای حوزه تنها می‌توانند در راستای مرز جایه‌جا شوند (شکل ۸)، به عبارت دیگر در جهت عمود بر مرز جایه‌جا آن‌ها صفر است. نتیجه طبیعی این شرط این است که نقاط گرهی واقع بر محل برخورد دو مرز که زاویه غیر صفر دارند، بی حرکت می‌مانند. همچنین با این شرایط، هیچ نقطه‌ای از یک مرز وارد مرز دیگر نخواهد شد.

تنش‌های دقیق این مسئله با توجه به حل تحلیلی آن توسط تیموشنکو و گودیر به صورت رابطه (۳۱) ارائه شده است [۷].

$$\sigma_x = -\frac{P(L-x)y}{I} ; \quad \sigma_y = 0 ; \quad \sigma_{xy} = \frac{P}{2I} \left( \frac{D^2}{4} - y^2 \right) \quad (31)$$

که در آن  $I = \frac{D^3}{12}$  است. برای مدل‌سازی و تحلیل این تیر به روش ایزوژئومتریک از ۴۵ نقطه کنترلی و یک ناحیه استفاده شده است (شکل ۱۰).

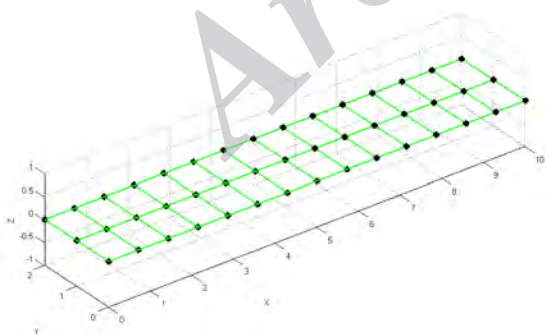


شکل ۱۰- نقاط کنترلی مورد استفاده در مدل‌سازی تیر طرہ

جهت کارایی بهتر تخمین کننده خطای پیشنهادی با توجه به مرجع [۱۷]، از توابع شکل نیز مرتبه دو در هر ناحیه استفاده شده است. بردارهای گرهی در جهات ۶/۰ و ۰/۶ به صورت رابطه (۳۲) است.

$$\begin{aligned} \eta &= \{0, 0, 0.3, 0.5, 0.7, 1, 1\}, \\ \xi &= \{0, 0, 0.1, 0.2, 0.3, 0.4, 0.5, 0.6, 0.7, 0.8, 0.9, 1, 1\} \end{aligned} \quad (32)$$

همچنین در این مثال از نه نقطه گوس جهت انتگرال‌گیری عددی و نقاط بهینه تنش در هر المان استفاده شده است.



شکل ۱۱- شبکه اولیه نقاط کنترلی تحت تأثیر نیروهای ناشی از اختلاف درجه حرارت تیر طرہ

همانطور که اشاره شد، پس از اعمال شرایط مرزی و تحلیل سازه خرپایی بوجود آمده، مختصات جدید نقاط کنترلی بدست می‌آید. در این روش مناسب با تغییر مختصات نقاط کنترلی، فواصل نقاط بردار گرهی هم اصلاح می‌شود.

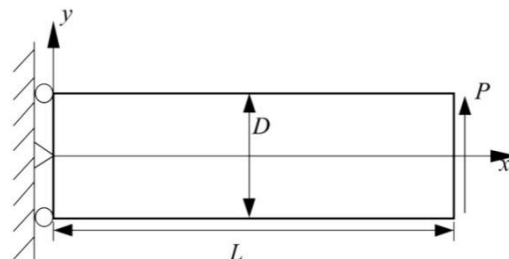
به عنوان معیاری به منظور رسیدن به همگرایی در بهبود حل تطبیقی، مقدار تغییرات نسبی شاخص تأثیر  $\theta$  (از رابطه (۲۰)) در هر سیکل، مورد استفاده قرار می‌گیرد و به یک مقدار کوچک محدود می‌شود. همچنین در مسائلی که به نرم خطای دقیق دسترسی نداریم، اختلاف بین نرم خطای تقریبی بدست آمده از دو سیکل متوالی بهبود شبکه معیاری برای توقف روند حل تطبیقی خواهد بود. در ادامه جهت بررسی کارایی روش بهبود شبکه، به مدل‌سازی و تحلیل و بررسی خطاهای و نحوه تغییرات مؤلفه‌های تنش دو مسأله الاستیسیته که دارای حل تحلیلی هستند، پرداخته شده است و نشان داده می‌شود که این روش در بهبود دقت حل روش ایزوژئومتریک موثر است.

## ۵- مسائل نمونه

### ۵-۱- تیر طرہ تیمو شنکو

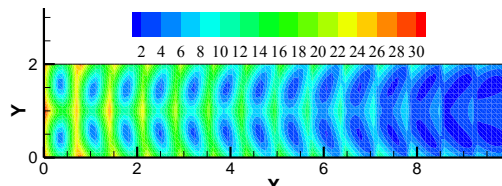
در این قسمت به بیان نتایج گرفته شده از مدل‌سازی یک تیر الاستیک خطی ایزوتروپیک در شرایط تنش مستوی توسط تحلیل ایزوژئومتریک و بازیابی تنش‌های آن پرداخته می‌شود (شکل ۹). پارامترهای به کار برده شده در این آنالیز، به صورت زیر می‌باشد:

$$L = 10, D = 2, P = 300, E = 1500, \nu = 0.15$$

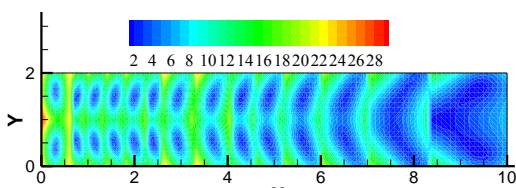


شکل ۹- تیر طرہ در شرایط تنش مساوی

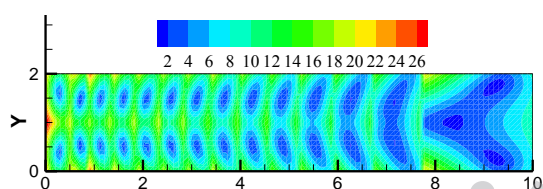
حاکی از عملکرد مناسب روش بهبود شبکه در کاهش خطای چند سیکل است.



شکل ۱۵- نرم خطای انرژی در اولین سیکل از تحلیل تطبیقی تیر طره

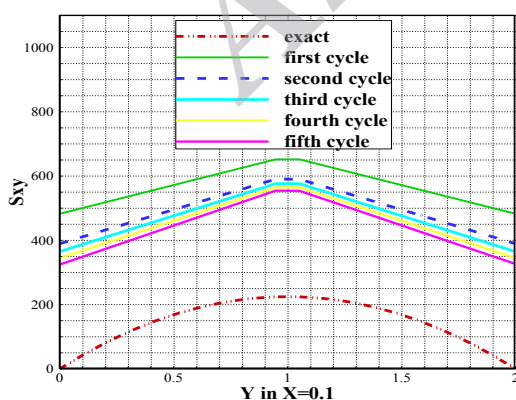


شکل ۱۶- نرم خطای انرژی در دومین سیکل از تحلیل تطبیقی تیر طره



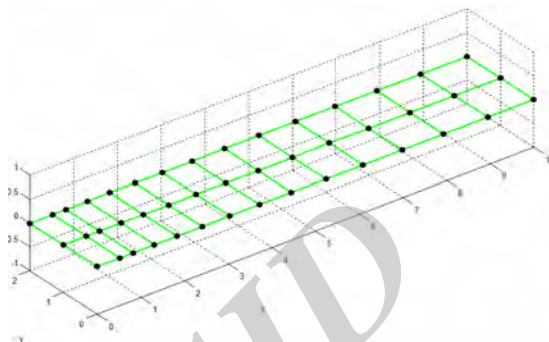
شکل ۱۷- نرم خطای انرژی در چهارمین سیکل از تحلیل تطبیقی تیر طره

همچنین در شکل‌های ۱۸ و ۱۹، با رسم تغییرات مؤلفه‌های تنش در مسیر  $x=0.1$ ، تاثیر بهبود شبکه بر افزایش دقت تنش در هر سیکل نشان داده شده است.

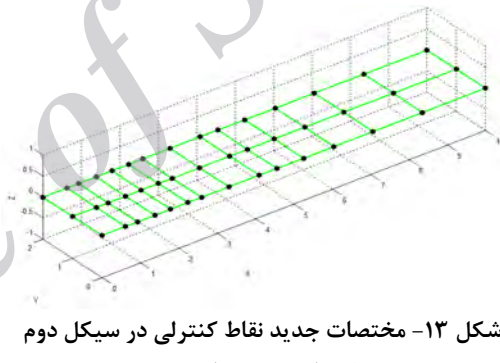


شکل ۱۸- تنش  $\sigma_{xy}$  تیر طره در مسیر  $x=0.1$

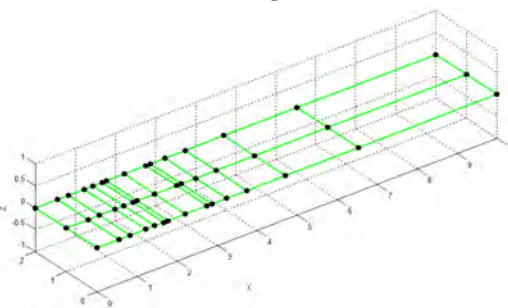
در شکل ۱۱، شبکه اولیه نقاط کنترلی تحت تاثیر نیروهای ناشی از اختلاف درجه حرارت و در شکل‌های ۱۲ تا ۱۴ مختصات جدید نقاط کنترلی در سیکل اول و دو سیکل دیگر حل تطبیقی ایزوژئومتریک نشان داده شده است.



شکل ۱۲- مختصات جدید نقاط کنترلی در سیکل اول حل تطبیقی تیر طره



شکل ۱۳- مختصات جدید نقاط کنترلی در سیکل دوم حل تطبیقی تیر طره



شکل ۱۴- مختصات جدید نقاط کنترلی در سیکل چهارم حل تطبیقی تیر طره

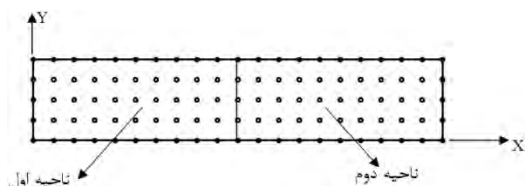
در شکل‌های ۱۵ تا ۱۷ نرم خطای انرژی دقیق بدست آمده از حل این مثال در سیکل‌های مختلف بهبود شبکه نشان داده شده است. همان‌طور که مشاهده می‌شود، ماکریزیم خطای از ۳۰ به ۲۸ و ۲۶ کاهش یافته است که

$$\sigma_x = \frac{3w}{4c} \left( \frac{l^2}{c^2} - \frac{2}{5} \right) y - \frac{3w}{4c^3} \left( x^2 y - \frac{2}{3} y^3 \right) \quad (33)$$

$$\sigma_y = -\frac{w}{2} + \frac{3w}{4c} y - \frac{w}{4c^3} y^3 \quad (34)$$

$$\tau_{xy} = -\frac{3w}{4c} x + \frac{3w}{4c^3} x y^2 \quad (35)$$

برای مدل‌سازی و تحلیل این تیر به روش ایزوزئومتریک از ۱۰۵ نقطه کنترلی و دو ناحیه مشابه استفاده شده است (شکل ۲۲).

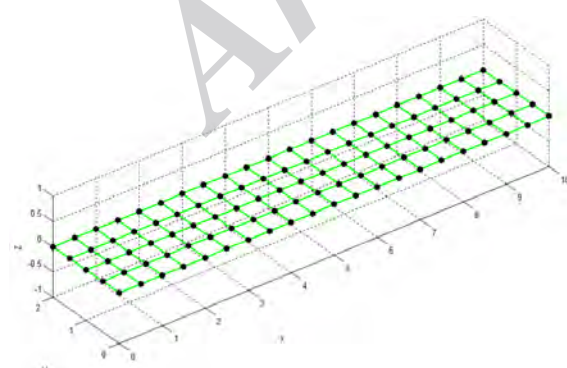


شکل ۲۲- نقاط کنترلی تیر دو سر مفصل در تحلیل ایزوزئومتریک

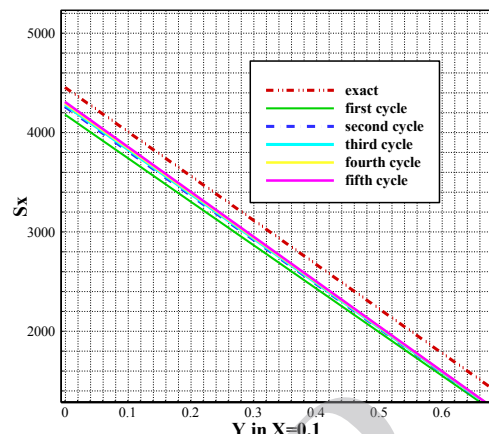
همچنین از توابع شکل نزدیک مرتبه دو و نه نقطه گوسی جهت انتگرال‌گیری عددی در هر ناحیه استفاده شده است. بردارهای گرهی در جهات  $\hat{x}$  و  $\hat{y}$  به صورت رابطه (۳۶) است.

$$\begin{aligned} \zeta &= \{0, 0, 0.1, 0.2, 0.3, 0.4, 0.5, 0.6, 0.7, 0.8, 0.9, 1, 1\} \\ \eta &= \{0, 0, 0.3, 0.5, 0.7, 1, 1\} \end{aligned} \quad (36)$$

در شکل ۲۳، شبکه اولیه نقاط کنترلی تحت تاثیر نیروهای ناشی از اختلاف درجه حرارت و در شکل‌های ۲۴ و ۲۵، مختصات جدید نقاط کنترلی در سیکل اول و دوم حل تطبیقی ایزوزئومتریک نشان داده شده است.



شکل ۲۳- شبکه اولیه نقاط کنترلی تحت تاثیر نیروهای ناشی از اختلاف درجه حرارت تیر دو سر مفصل

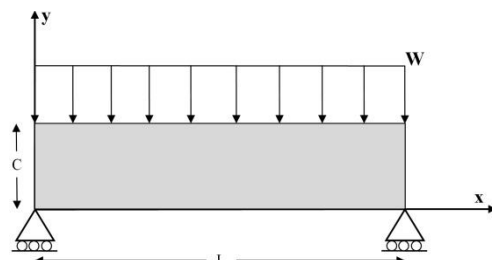


شکل ۱۹- تنش  $\sigma_x$  تیر طره در مسیر  $x=0.1$

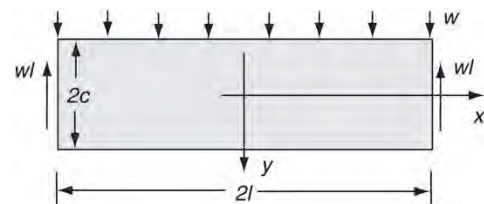
#### ۵-۲- تیر دو سر مفصل

در این قسمت به مدل‌سازی تیر الاستیک خطی ایزوتropیک دو سر مفصل تحت بار گستردگی در شرایط تنش مستوی پرداخته می‌شود (شکل ۲۰). پارامترهای به کار برده شده در مدل‌سازی و تحلیل این مثال به صورت زیر است (شکل ۲۱):

$L=10, C=2, W=11, E=1500, \nu=0.25$   
تشهای دقیق این مسئله با توجه به پارامترهای تعریف شده در بالا به صورت روابط (۳۳) تا (۳۵) در نظر گرفته شده است [۱۸].

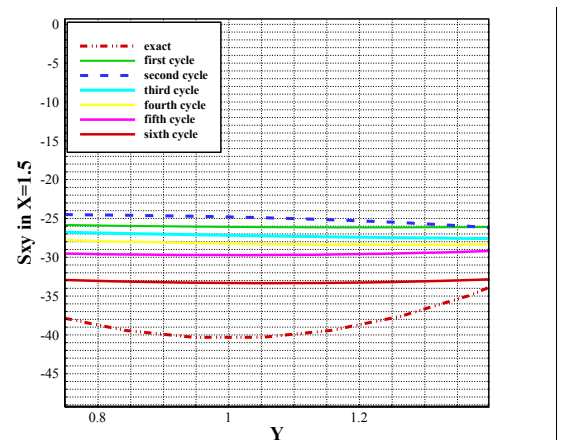


شکل ۲۰- تیر دو سر مفصل تحت بار گستردگی

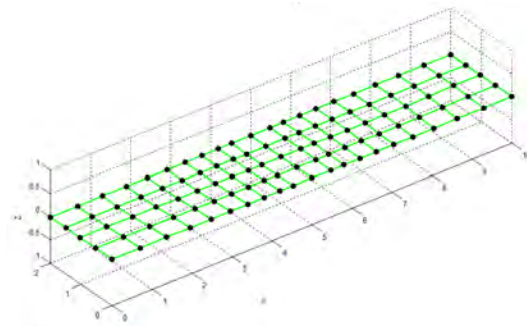


شکل ۲۱- پارامترهای تعریف شده در حل تحلیلی تیر دو سر مفصل تحت بار گستردگی [۵]

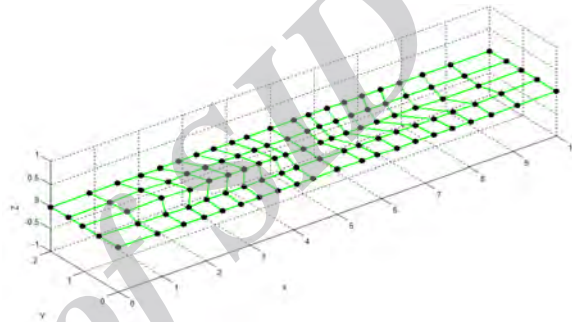
همچنین در شکل ۲۸، با رسم تغییرات یکی از مؤلفه‌های تنش در مسیر  $x=1.5$ ، تأثیر بهبود شبکه بر افزایش دقت تنش تیر دو سر مفصل در هر سیکل نشان داده شده است.



شکل ۲۸- تنش  $\sigma_{xy}$  تیر دو سر مفصل در مسیر  $x=1.5$



شکل ۲۴- مختصات جدید نقاط کنترلی در سیکل اول حل تطبیقی تیر دو سر مفصل



شکل ۲۵- مختصات جدید نقاط کنترلی در سیکل دیگری از حل تطبیقی تیر دو سر مفصل

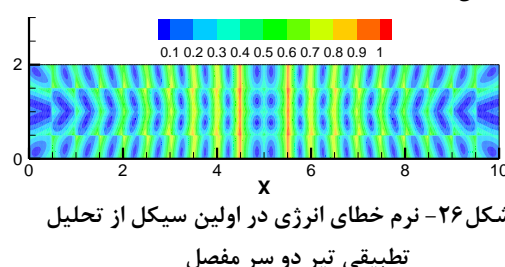
ارائه روشی ابداعی جهت بهبود شبکه نقاط کنترلی در تحلیل ایزوژئومتریک در این مقاله، مورد بحث قرار گرفت. همچنین کارایی روش برآورده خطای مبتنى بر بازیافت تنش در تحلیل ایزوژئومتریک جهت حل تطبیقی، مورد ارزیابی قرار گرفته است. توجه به کاهش نرم خطای انرژی دقیق بعد از هر سیکل بهبود شبکه و نزدیک شدن مؤلفه تنش ایزوژئومتریک به حل دقیق در حل تطبیق یافته، نشان می‌دهد که روش ارائه شده در این پژوهش، به درستی شبکه نقاط کنترلی را به سمت نواحی با خطای بیشتر راهنمایی کرده و روش برآورده خطای مبتنى بر بازیافت تنش نیز می‌تواند به درستی در حل تطبیقی نتایج تحلیل ایزوژئومتریک به کار رود.

## ۷- تشکر و قدردانی

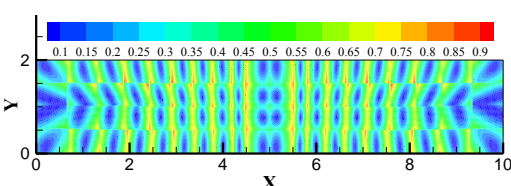
این پژوهش با استفاده از اعتبارات پژوهشی دانشگاه آزاد اسلامی واحد شاهروド انجام گردیده است.

## ۸- مراجع

- [1] T.J.R. Hughes, J.A. Cottrell,Y. Bazilevs, (2005), "Isogeometric analysis: Cad, finite elements, NURBS, exact geometry and mesh



شکل ۲۶- نرم خطای انرژی در اولین سیکل از تحلیل تطبیقی تیر دو سر مفصل



شکل ۲۷- نرم خطای انرژی در دومین سیکل از تحلیل تطبیقی تیر دو سر مفصل

- shape quality in 2-D and 3-D computational mesh dynamics”, Computational Mechanics 27: 378.
- [15] D. Zeng, C.R. Ethier, (2005), “A semi-torsional spring analogy model for updating unstructured meshes in 3D moving domains”, Finite Elements in Analysis and Design 41: 1118–1139.
- [16] George, P.L., Borouchaki H., (1998), “Delaunay Triangulation and Meshing: Application to Finite Elements”, HERMES, Paris.
- [17] Dörfel, M.R.; Jüttler, B.; Simeon, B.; (2010), “Adaptive isogeometric analysis by local h-refinement with T-splines”, Comput. Methods Appl. Mech. Engrg 199, 5-8: 264-275.
- [18] Sadd, M.H. (2005) “ELASTICITY: Theory, Applications, and Numerics”, Elsevier Butterworth-Heinemann
- refinement, Comput.”. Meth. Appl. Mech. Engrg. 194 (39–41) 4135–195.
- [2] Hassani, B. Ganjali, A and Tavakkoli, S.M, An “isogeometrical approach to error estimation and stress recovery”, European J. of Mech, 31 (2012), 101-109.
- [3] J. Peraire, M. Vahdati, K. Morgan, and O.C. Zienkiewicz.(1987),“Adaptive remeshing for compressible flow computations.” J. Comp. Phys., 72, 449±66.
- [4] Gyi, W. and Babuska, I., (1986), “The h, p and h-p version of the finite element method in one dimension: Part 1: The error analysis of the p version. Part 2: The error analysis of the h and h-p version. Part 3: The adaptive h-p version”, Numerische Math 48: 577-683.
- [5] Zienkiewicz, o.c. and Zhu, Z. (1989), “Error estimates and adaptive refinement for plate bending problems”, International Journal for Numerical Methods in Engineering 28: 2839-2853.
- [6] Kjetil André Johannessen .(2009),“An adaptive isogeometric finite element Analysis”, M.S. thesis , Norwegian University of Science and Technology.
- [7] Michael R. Dörfel , Bert Jüttler and Bernd Simeon . (2010), “Adaptive isogeometric analysis by local h-refinement with T-splines” ,Comput. Methods Appl. Mech. Engrg 199: 264–275.
- [8] Ping Wang, JinlanXua, JiansongDenga and Falai Chena. (2011)“Adaptive isogeometric analysis using rational PHT-splines”, Computer-Aided Design 43: 1438–1448.
- [9] L. Piegl, W. Tiller (1997), The NURBS Book (Monographs in Visual Communication), Second ed., Springer-Verlag, New York.
- [10] S.P. Timoshenko, J.N. Goodier, (1977), “Theory of Elasticity,” McGraw-Hill, New York.
- [11] Zienkiewicz, O.C., Taylor, R.L. and J.Z. Zhu. (2005), “The Finite Element Method” 6th edition, Elsevier Butterworth-Heinemann.
- [12] R. Haber, M.S. Shephard, J.F. Abel, R.H. Gallagher, D.P. Greenberg, (1981),“A general two-dimensional graphical finite-element preprocessor utilizing discrete transfinite mappings”, International Journal for Numerical Methods in Engineering 17: 1015
- [13] O.C. Zienkiewicz, D.V. Philips, (1971),“An automatic mesh generation scheme for plane and curved surfaces by isoparametric coordinates”, International Journal for Numerical Methods in Engineering 3: 519.
- [14] P.Z. Bar-Yoseph, S. Mereu, S. Chippada, V.J. Kalro, (2001), “Automatic monitoring of element